

Calculo de la longitud de onda de la radiación de un diodo led infrarrojo, utilizando el modulo motorizado infrarossi y su software de control Free infrarossi

Julian Salamanca*, Diego Parra†
Universidad Distrital, Calle 3 No 26A-40 Bogotá-Colombia
Grupo de Física e Informática “FISINFOR”

February 17, 2016

Abstract

In this paper calculated the wavelength emitted by an infrared LED diode using a diffraction grating, infrarossi motorized module and control software free infrarossi; a GNU-Linux environment, highlighting the functionality of this instrument in illustrating the diffraction property of electromagnetic waves and the duality wave - corpuscle.

Keywords: Motor module, infrared sensors, microcontroller module bluetooth, electromagnetic wave, diffraction.

Resumen

El presente trabajo calcula la longitud de onda emitida por un diodo led infrarrojo, utilizando una rejilla de difracción, el modulo motorizado infrarossi y su software de control free infrarossi; en un entorno GNU-linux, resaltando la funcionalidad de este instrumento en la ilustración de la difracción como propiedad de la ondas electromagnéticas y su dualidad onda – corpúsculo.

Descriptores: Modulo motorizado, sensores infrarrojos, microcontrolador, modulo bluetooth, ondas electromagnéticas, difracción.

1 Introducción

Los fenómenos de las ondas siempre han fascinado nuestros pensamientos y tratamos de acercarnos a estos fenómenos para tratar de entenderlos, es allí donde la física con ayuda de la matemática muestran su majestuosidad, al explicar de manera muy detallada estos fenómenos de transporte; la difracción es una de estas propiedades, la cual esta muy presente en la vida diaria y con la ayuda del modulo motorizado infrarossi y su software de control free infrarossi, se pretende ilustrar este fenómeno físico y calcular la longitud de onda propia producida por un diodo infrarrojo.

”Un cuerpo opaco colocado a medio camino entre una pantalla y una fuente puntual proyecta una sombra complicada hecha en regiones claras y oscuras muy diferentes de las que podría esperarse de los principios básicos de la óptica geométrica. El trabajo de Francesco

Grimaldi en el siglo XVII fue el primer estudio detallado que se publicó sobre esta desviación de la luz de su propagación rectilínea. A la que denomino difracción. El efecto es una característica general de los fenómenos ondulatorios que ocurren donde quiera que una parte de un frente de onda ya sea sonido, onda material o luz, esté obstruida de alguna manera. Si al encontrar un obstáculo transparente u opaco se altera la amplitud o la fase de una región del frente de onda, esto produciría difracción. Los varios segmentos del frente de onda que se propagan más allá del obstáculo interfieren, produciendo aquella distribución de densidad de energía particular denominada figura de difracción. No hay distinción física significativa entre interferencia y difracción. Sin embargo, se ha vuelto algo común, aunque no siempre apropiado, hablar de interferencia cuando se analiza la superposición de solamente unas pocas ondas y de difracción cuando se trata de un gran número de ondas.” [2]

*jasalamanca@udistrital.edu.co

†diegoestudianteud1@gmail.com

2 Marco teórico

Los fotones producidos por el diodo emisor de la fuente emisora de radiación infrarroja antes de pasar estos por la rejilla de difracción se dan debido a que “en los semiconductores, con estructura compleja de las bandas energéticas, son posibles las transiciones indirectas de los electrones de la banda de conducción a la de valencia acompañadas de la emisión de un fotón. En este caso la recombinación del electrón libre con el hueco se desarrolla con la aparición de un fonón, lo que asegura la conservación del cuasi impulso. Lo más probable es que el fonón sea emitido. Si en el semiconductor se desarrollan procesos de recombinación entre bandas tanto directa como indirectas, en el espectro de radiación se observan dos bandas de luminiscencia.

En la banda prohibida de los semiconductores reales existe una gran cantidad de estados localizados, que están ligados a los átomos de impureza, defectos de la estructura, infracciones de la periodicidad de la estructura en la superficie, etc. Estos estados localizados desempeñan un papel importante en los procesos de luminiscencia.

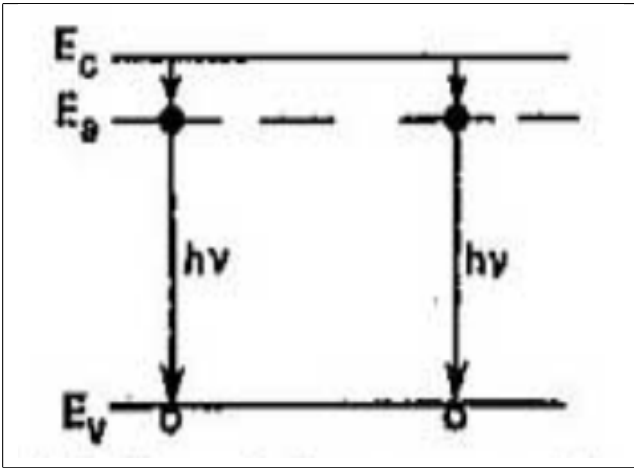


Figure 1: Transiciones con radiación entre una banda y los estados de impureza.

Las transiciones de los electrones de la banda de conducción a los niveles de los pequeños donadores (o de los huecos de la banda de valencia a los niveles de los pequeños aceptores), que hacen que estos últimos se neutralicen, pueden ser con radiación.. En este caso es de esperar la aparición de luminosidad en la región infrarroja remota del espectro. Pero los cálculos muestran que en

estas transiciones lo más probable es que sea emitido un fonón y no un fotón, es decir, que el proceso se desarrolla sin radiación. La recombinación con radiación se produce por lo general como viene mostrado en la figura 1. Primero un electrón de la banda de conducción es capturado por un nivel local situado un poco más abajo que E_C ¹, y después se efectúa la recombinación de este electrón localizado con un hueco de la banda de valencia, la cual va acompañada de la emisión de un fotón. El electrón puede también realizar una transición con radiación de la banda de conducción y después recombinarse con un hueco.

El estudio de los espectros de luminiscencia relacionados a diversas impurezas y defectos permite obtener información sobre estas infracciones de la estructura.

Como ya se advirtió, durante la absorción de la luz puede surgir en los semiconductores pares electrón – hueco ligados por la atracción coulombiana, es decir, excitones. Si uno de estos pares se aniquila, se produce la emisión de un fotón. La energía de esta radiación es:

$$h\nu = E_g - E, \quad (1)$$

donde E es la energía de enlace del excitón.

Como el excitón puede tener estados excitados, la radiación dada a la recombinación excitónica puede consistir en una serie de rayas estrechas correspondientes a las transiciones desde los estados excitados.”[1]

Una vez producido los fotones infrarrojos con energía $h\nu$ se hacen pasar por una red de difracción de 100 líneas por milímetro, a lo que esta radiación en vez de comportarse como un corpúsculo como lo venia haciendo, se comporta como una onda.

”La red de difracción es un conjunto repetitivo de elementos difractores de una onda emergente, bien sean aberturas u obstáculos, que tienen el efecto de producir alteraciones periódicas en la fase, amplitud o ambas. Uno de los más simples de tales conjuntos es la configuración de rendijas múltiples. Parece que fue inventado por el astrónomo americano David Rittenhouse hacia 1785. Algunos años más tarde Joseph Von Fraunhofer redescubrió, por su cuenta, este principio y siguió aportando un buen número de contribuciones importantes tanto a la teoría como a la tecnología de redes.

¹ E_C es el nivel de energía de conducción.

Los primeros dispositivos eran en realidad conjuntos de rendijas múltiples, que consistían por lo general en un retículo de alambre muy fino o hilo enrollado y extendido entre dos tornillos paralelos que servían como espaciadores. Al pasar a través de semejante sistema, un frente de onda se encuentra con regiones opacas y transparentes alternadas, sufriendo una modulación en amplitud. Así mismo, una configuración múltiple de rendijas se denomina red de transmisión de amplitud. Otra forma más corriente de red de transmisión se hace rayando o raspando unas hendiduras paralelas en la superficie de una lámina de cristal clara y plana. Cada raspadura sirve como fuente de luz esparcida, formando juntas un conjunto regular de fuentes lineales paralelas. Cuando la red es totalmente transparente, de tal manera que la modulación en amplitud sea despreciable, las variaciones regulares del espesor óptico a través del retículo dan una modulación en fase y tenemos lo que se denomina red de transmisión de fase. En la representación de Huygens -Fresnel podemos visualizar los trenes de onda como radiados con diferentes fases sobre la superficie de la red. Un frente de onda emergente contiene, por consiguiente, unas variaciones periódicas en su forma más que en su amplitud lo cual, a su vez, equivale a una distribución angular de las ondas constitutivas.

Al reflejarse en esta clase de red, la luz esparcida por las varias características periódicas de la superficie llegaran a un punto P con una relación de fase definida. El patrón de interferencia correspondiente engendrado después de la reflexión es muy similar al que se produce por transmisión. Las redes diseñadas específicamente para funcionar de esta manera se denominan redes de reflexión de fase. Tradicionalmente, las redes de esta clase son rayadas sobre películas finas de aluminio que han sido evaporadas sobre bloques de vidrio ópticamente planos. Puesto que el aluminio es bastante blando, hay menos desgaste de la herramienta de rayar de diamante, siendo también mejor reflector en la región ultravioleta.

Si miramos perpendicularmente a través de una red de transmisión hacia una fuente lineal paralela distante, los ojos servirían como lente de enfoque para la distribución de difracción.

Como un puente simple aunque lógico entre los estudios de la interferencia y de la difracción se considera un conjunto de N osciladores puntuales coherentes (o antenas emisoras),

²Este es el caso ideal, el cual en el experimento se da el caso que los fotones infrarrojos producidos por el diodo led infrarrojo no están en fase

todos ellos idénticos incluso en su polarización. Por ahora, hay que suponer que los osciladores no tengan diferencia de fase intrínseca, ² es decir, cada uno tiene el mismo ángulo de fase inicial. Todos los rayos son casi paralelos, encontrándose en un punto P muy distante. Si la extensión espacial del conjunto es comparativamente pequeña, las amplitudes de onda individuales que lleguen a P serán esencialmente iguales, habiendo recorrido casi las mismas distancias, esto es:

$$E_0(r_1) = E_0(r_2) = \dots = E_0(r_n) = E_0(r) \quad (2)$$

La suma de los trenes de onda esféricos interferentes produce un campo eléctrico en P proporcionado por la parte real de

$$\vec{E} = E_0(r)e^{i(kr_1 - \omega t)} + E_0(r)e^{i(kr_2 - \omega t)} + \dots + E_0(r)e^{i(kr_N - \omega t)} \quad (3)$$

Por tanto ahora

$$\vec{E} = E_0(r)e^{(-i\omega t)}e^{ikr_1} \times [1 + e^{ik(r_2 - r_1)} + e^{ik(r_3 - r_1)} + \dots + e^{ik(r_N - r_1)}] \quad (4)$$

La diferencia de fases entre fuentes adyacentes se obtiene de la expresión $\delta = k_0\Lambda$, y puesto que $\Lambda = nd\sin(\theta)$, en un medio con índice n, $\delta = kd\sin(\theta)$, de esto se deduce que $\delta = k(r_2 - r_1)$, $2\delta = k(r_3 - r_1)$, etc. Entonces el campo de P puede escribirse como:

$$\vec{E} = E_0(r)e^{(-i\omega t)}e^{ikr_1} \times [1 + (e^{i\delta}) + (e^{i\delta})^2 + (e^{i\delta})^3 + \dots + (e^{i\delta})^{N-1}] \quad (5)$$

La serie geométrica entre paréntesis tiene el valor:

$$(e^{i\delta N} - 1)/(e^{i\delta} - 1)$$

que puede ordenarse así:

$$\frac{e^{i\delta N/2}[e^{i\delta N/2} - e^{-i\delta N/2}]}{e^{i\delta/2}[e^{i\delta/2} - e^{-i\delta/2}]} \quad (6)$$

o de manera equivalente

$$e^{i(N-1)\delta/2} * \left(\frac{\sin(N\delta/2)}{\sin(\delta/2)} \right) \quad (7)$$

Entonces el campo se transforma en:

$$\vec{E} = E_0(r)e^{(-i\omega t)}e^{i[kr_1 + (N-1)\delta/2]} * \left(\frac{\sin(N\delta/2)}{\sin(\delta/2)} \right) \quad (8)$$

Si se define R como la distancia desde el centro de la línea de los osciladores hasta el punto P, es decir:

$$R = \frac{1}{2}(N-1)d\sin(\theta) + r_1 \quad (9)$$

Entonces la ecuación 8 se convierte en:

$$\vec{E} = E_0(r)e^{i(kR-\omega t)}\left(\frac{\sin(N\delta/2)}{\sin(\delta/2)}\right) \quad (10)$$

Finalmente, la distribución de densidad de flujo dentro de la distribución de difracción debida a N fuentes puntuales distantes, idénticas y coherentes en una disposición lineal, es proporcional a $EE^*/2$ para E compleja o

$$I = I_0 \frac{\sin^2(N\delta/2)}{\sin^2(\delta/2)} \quad (11)$$

donde I_0 es la densidad de flujo que saliendo desde cualquier fuente puntual llegue a P. La dependencia funcional de I con θ queda más clara en la forma

$$I = I_0 \frac{\sin^2[(Nk\delta/2)\sin(\theta)]}{\sin^2[(k\delta/2)\sin(\theta)]} \quad (12)$$

El término $\sin^2[(Nk\delta/2)\sin(\theta)]$ se somete a unas fluctuaciones rápidas, mientras que la fluctuación que la modula, $\sin^2[(k\delta/2)\sin(\theta)]$, varía de manera relativamente lenta. La expresión combinada da lugar a una serie de picos principales agudos separados por picos pequeños complementarios.

Finalmente después de ese tratamiento la ecuación que describe el fenómeno físico se denomina ecuación de red para incidencia normal.

$$d \sin(\theta_m) = m\lambda \quad (13)$$

Los valores de m especifican el orden de diversos máximos principales. Para una fuente que tenga un espectro continuo ancho, tal como un filamento de tungsteno, la imagen de orden cero, $m = 0$, corresponde a la imagen blanca de la fuente no desviada $\theta_0 = 0$. La ecuación de red depende de λ y así, para cualquier valor de $m \neq 0$, las distintas imágenes coloreadas de la fuente correspondientes a ángulos ligeramente diferentes (θ_m), se dispersa en un espectro continuo. Las regiones ocupadas por los débiles máximos secundarios aparecerán como bandas aparentemente desprovistas de luz. El espectro de primer orden $m = \pm 1$ aparece a cada lado de $\theta = 0$ y es seguido, junto con intervalos alternados de oscuridad, por los espectros de orden superior, $m = \pm 1, \pm 2$, etc. Obsérvese que entre más pequeño sea el valor de a en la ecuación 1, menor será el número de órdenes visibles.”[2]

Ahora se produce un patrón de difracción que alcanzara al detector o modulo motorizado Free infrarossi, el cual avanza en linea recta a 45 centímetros de la fuente emisora de fotones infrarrojos, perpendicular a la incidencia de los patrones de difracción.

3 Montaje experimental

3.1 Materiales del montaje

Para la realización de este montaje se utilizaron los siguientes materiales:

- Ordenador con sistema operativo GNU-Linux.
- Modulo motorizado infrarossi.
- Software de control free infrarossi.
- Fuente emisora de fotones infrarrojos.
- Modulo bluetooth para pc.
- Rejilla de difracción de 670 lineas por milimetro

3.2 Montaje

Colocar la fuente emisora de fotones infrarrojos y frente a ella la rejilla de difracción, luego colocar el modulo motorizado infrarossi a 40 cm de la fuente emisora, como se muestra en la figura 1.

Abrir una terminal de GNU-Linux y escribir en el, infrarossi oprimir enter y la clave de superusuario, luego de abrir el programa debe oprimir el boton on, esperar que se empareje el bluetooth, una vez emparejado el bluetooth el programa desplegara un tercer menú, oprimir el botón de difracción y esperar que el programa tome los datos necesarios.



Figura 2: Imagen del montaje para la difracción utilizando el modulo motorizado infrarossi.

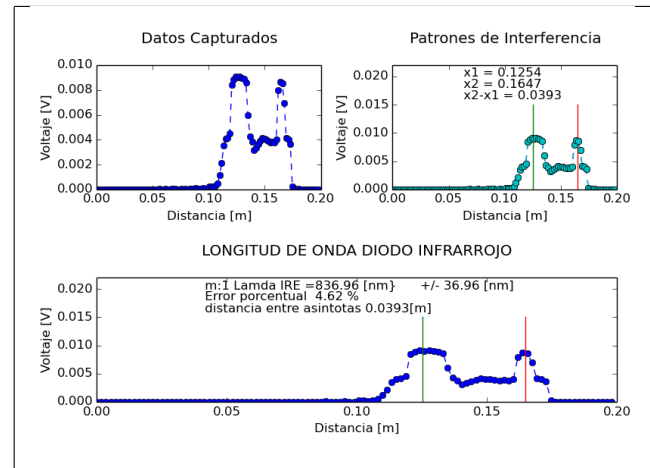


Figura 3: Imagen generada por el programa free infrarossi.

5 Conclusiones

El modulo motorizado infrarossi y su software de control free infrarossi, es una herramienta muy potente al momento de ilustrar la propiedad de difracción de las ondas electromagneticas. EL software de control free infrarossi es muy potente pues permite tener un margen de error de $\pm 71nm$, lo cual es

Referencias

- [1] Pavlov, P. V., & Jojlov, A. F. (1987). Física del estado sólido. Rubiños-1860.
- [2] Hecht, E., Dal Col, R., Talavera, R. W., & Pérez, J. M. G. (2000). Óptica. Addison Wesley.
- [3] Shalímov, K. V., & Grdiam, A. (1975). Física de los Semiconductores.

4 Análisis de resultados

El programa free infrarossi después de terminar de recoger los datos realiza un análisis estadístico de los mismos y en una ventana aparte realiza la gráfica de los datos y predice la longitud de onda del diodo con una exactitud de $\pm 71nm$